

## **”تقدير نموذج الانحدار اللاخطي المختلط باستخدام الخوارزمية الجينية“**

### **“Estimation of a Mixed Nonlinear Regression Model Using Genetic Algorithm”**

م . عمر رمزي جاسم

كلية الادارة والاقتصاد/ جامعة الحمدانية

[omar.ramzi89@uohamdaniya.edu.iq](mailto:omar.ramzi89@uohamdaniya.edu.iq)

#### **المستخلص**

تُعد التوزيعات المختلطة أو المهجنة من التوزيعات العشوائية المهمة التي لها العديد من التطبيقات المختلفة منها الصناعية والاقتصاد الذي يهتم بموضوع الأوراق المالية، لذا تم في البحث تقدير معلمات نموذج الانحدار اللاخطي المتعدد عندما يتبع حد الخطأ توزيعات مهجنة بين توزيعين احتماليين منها توزيع الأسني المزدوج (لابلاس) متعدد المتغيرات وتوزيع (t) متعدد المتغيرات وبالاعتماد على إحدى الخوارزميات التطورية والمتمثلة بالخوارزمية الجينية وباستعمال مقدر متعدد الحدود المحلي تم تحويل دالة الانحدار اللاخطية المتعددة إلى دالة خطية وبافتراض أن مصفوفة الأوزان عبارة عن دالة النواة الطبيعية واستعمال قاعدة الإبهام لاختيار معلمة عرض الحزمة، وكجانب عملي للبحث فقد تم التنبؤ بأسعار الأسهم المالية لمختلف القطاعات بسوق العراق للأوراق المالية، ومن خلال برنامج الـ (Matlab R2020a) فقد أظهرت نتائج التنبؤ تفوق النموذج عندما يتبع الخطأ توزيع الأسني المزدوج متعدد المتغيرات وتوزيع t متعدد المتغيرات على نموذج الانحدار الخطى المتعدد الطبيعي والشبكات العصبية الاصطناعية، وذلك بالاعتماد على معيار متوسط مربعات الخطأ ومعيار متوسط الخطأ المطلق.

**الكلمات المفتاحية:** نموذج الانحدار اللاخطي المتعدد، مقدر متعدد الحدود المحلي، دوال النواة، الخوارزمية الجينية، توزيع الأسني المزدوج، الشبكات العصبية الاصطناعية.

#### **Abstract**

Mixed or hybrid distributions are considered important random distributions that have many different applications, including industrial and economic applications that are

concerned with the subject of securities. Therefore, in the research, the parameters of the multiple nonlinear regression model were estimated when the error term follows hybrid distributions between two probability distributions, including the multivariate double exponential (Laplace) distribution and the multivariate (t) distribution, and based on one of the evolutionary algorithms represented by the genetic algorithm. Using a local polynomial estimator, the multiple nonlinear regression function was converted into a linear function, assuming that the weight matrix is the normal kernel function and using the thumb rule to choose the bandwidth parameter. As a practical aspect of the research, the prices of financial stocks for various sectors in the Iraq Stock Exchange were predicted, and through the (Matlab R2020a) program, the prediction results showed the superiority of the model when the error follows the multivariate double exponential distribution and the multivariate t distribution over the normal multiple linear regression model and artificial neural networks, based on the mean square error criterion and the mean absolute error criterion.

**Keywords:** Multiple Nonlinear Regression Model, Local Polynomial Estimator, Kernel Function, Genetic Algorithm, Double Exponential Distribution, Artificial Neural Networks.

## Introduction

## المقدمة (1)

تختلف تقنيات المستخدمة في التنبؤ على نطاق واسع، وتتأثر بكثير من العوامل بما في ذلك جودة النماذج المتاحة، وأنواع الافتراضات المستخدمة وتوافر البيانات. وبشكل عام، فإن التنبؤ هو مسعى صعب، وهذا هو السبب في أن العديد من العلماء انجذبوا لدراسته.

إن أحد الجوانب الرئيسية لأي نظام لاتخاذ القرارات المالية هو فهم طبيعة العلاقات بين الأسواق المالية واقتصاد الدولة (الغرابي ،2008). فقد برزت توقعات سوق الأوراق المالية مؤخرًا كواحدة من مجالات الدراسة الرئيسية. وقد تم تصميم مجال أبحاث سوق الأوراق المالية ليكون فوضويًا وغير معياري وصعبًا وغير خطى (الكسو ،2005). وتهدف العديد من الأبحاث العلمية إلى زيادة دقة التنبؤ بالمؤشرات باستخدام كل من الأساليب التقليدية والذكائية. ونظرًا لوجود الكثير من التداول في أسواق الأوراق المالية، فقد اكتشف أن التحسن الطفيف في التنبؤ قد يؤدي إلى ربح كبير.

هناك الكثير من النماذج للتنبؤ بأسعار سوق الأوراق المالية. لاستثمار الأموال في سوق الأوراق المالية، يجب علينا أولاً تحديد ما إذا كانت أسعار الأسهم ستترفع أو تختفي خلال الأيام القليلة القادمة. للتنبؤ بطبيعة سوق الأوراق المالية، يجب الجمع بين الكثير من تقييمات الحوسنة. لقد تطورت نظرية سوق رأس المال التقليدية، كما تطورت طرق التحليل المالي المختلفة (Heidenreich,2013).

في أغلب الأحيان يلجأ الباحثون إلى تقدير معلمات نماذج الانحدار المختلفة سواء الخطية منها أو اللاخطية عندما يتبع حد الخطأ العشوائي توزيعاً طبيعياً، ولكن هنالك العديد من الحالات يكون فيها الخطأ العشوائي ينتمي إلى التوزيعات العشوائية الاحتمالية المهجنة أو المختلطة أي بمعنى دمج توزيعين احتماليين، في مثل هذه الحالة تكون التوزيعات الاحتمالية المهجنة أكثر ملائمة من التوزيع الطبيعي ومن هذه التوزيعات توزيع الاسي المزدوج متعدد المتغيرات إذ إن هذا التوزيع يعتبر أكثر عمومية من نماذج الانحدار التي تتبع التوزيع الطبيعي حالة خاصة، ولهذا التوزيع تطبيقات واسعة في العديد من المجالات الاقتصادية التي تتضمن بيانات الأسهم أو ما يتعلق بمختلف القطاعات لسوق الوراق المالية.

يُعد نموذج الانحدار اللاخطي المتعدد من نماذج الانحدار المستعملة في تحليل البيانات الاقتصادية المختلفة؛ وذلك لمرونته الكبيرة في التعامل مع القبلات المالية المتعددة، أذ قدم (الصفاوي و نور صباح، 2011) بعض الطرائق الممهدة لتقدير دالة الانحدار اللاخطي عندما يكون الخطأ العشوائي للنموذج يتوزع طبيعياً والمتمثلة بطريقة دالة النواة و طريقة الجار الأقرب وطريقة الشريحة الممهدة، إذ استعمال طريقة العبور الشرعي لاختيار معلمة عرض الحزمة بالنسبة إلى طرائق دالة النواة والشريحة الممهدة، أما بالنسبة إلى طريقة الجار الأقرب فقد تم استخدام أسلوب المسافة التقليدية لغرض اختيار معلمة عرض الحزمة، فضلاً عن استعمال اسلوب المحاكاة للمقارنة بين الطرق بنموذجين مختلفين وثلاث قيم لمعلمة التباين.

في حين قام الباحث (الشريفي، 2015)، بتقدير معلمات توزيع الاسي المزدوج باستخدام بعض الطرائق التقدير المختلفة نظراً للأهمية الكبيرة للتوزيع كونه يدخل في نمذجة العديد من الظواهر الطبيعية والاجتماعية والاقتصادية وباستخدام الطرائق الكلاسيكية والبيزية تحت دوال خسارة مختلفة، وقد تم الاستنتاج با ان "دالة جامبل" (**Gumble function**) المقترحة تفوقت على جميع الدوال الأخرى بالاعتماد على كثير من معايير المقارنة المختلفة.

كذلك قام الباحثان: (ابتسام كريم، اسماء خميس، 2022)، بدراسة توزيع الاسي المزدوج ذي الأطراف المتماثلة، لما له من أهمية أساسية في تطوير علم الرياضيات والاحصاء وتطبيق خصائصه في المجال المالي، إذ هدف البحث على الحصول على مقدري بيزي لمعلمتي الالتواء والقياس تحت دالة الخسارة التربيعية، وبافتراض أن الدالة الأسビكية أو الأولية لكل من معلمة الالتواء والقياس هي كما والاسي على التوالي، وتم التوصل إلى أن مقدر بيزي لمعلمتي التواء والقياس تحت دالة الخطأ التربيعية أفضل طريقة بالمقارنة مع الطرق الكلاسيكية الأخرى.

ولغرض الوصول إلى تقدير حسابي أمثل لمعلمات توزيع الاسي المزدوج متعدد المتغيرات سيتم اللجوء إلى استخدام التقنيات الذكائية. إذ تعتمد الدراسات الحديثة على التوليف أو التداخل بين الاتجاهات المختلفة للعلوم، فالتدخل ما بين هذه العلوم يعمل على جمع العديد من المزايا المختلفة مع بعضها والإبعاد أو محاولة تجاوز العيوب الموجودة في بعض الطرائق عبر استخدام الحلول المتوفرة في الاتجاه الموظف فيه. إلا أن موضوع التوظيف في مختلف العلوم شأنك ومعقد يحتاج إلى دراية كافية في كلا الاتجاهين المستخدمين لكي تتحقق النتائج المطلوبة، وعلى هذا الأساس، اعتمد هذا البحث على توظيف إحدى الخوارزميات النظرية والمتمثلة بالخوارزمية الجينية في تقدير معلمات توزيع الاسي

المزدوج، واستخدام نموذج الانحدار اللاخطي المتعدد كديل ناجح للانحدار الخطى المتعدد الطبيعي والشبكات العصبية الاصطناعية، وذلك لغرض التنبؤ بأسعار الأسهم في أسواق العراق للأوراق المالية.

تم تنظيم البحث على جانبين؛ إذ اشتمل الجانب الأول على الجانب النظري الخاص بالبحث الذي تضمن وصف نموذج الانحدار اللاخطي المتعدد عندما يتبع حد الخطأ التوزيع الاسي المزدوج متعدد المتغيرات، وعملية تحويل النموذج الى نموذج خطى بالاعتماد على مقدر متعدد الحدود المحلي، فضلاً عن وصف الخوارزمية الجينية وكيفية استخدامها في تقدير معلمات النموذج. في حين تكون الجانب الثاني للبحث من تطبيق ما تم ذكره في الجانب النظري على بيانات حقيقة متمثلة بسوق العراق للأوراق المالية لمدة من (2017/1/1) لغاية (2021/1/1). وأخيراً في هذا البحث عرض أهم الاستنتاجات والتوصيات التي توصل اليها.

### Local polynomial estimator

(2) مقدر متعدد الحدود المحلي:

يُعد هذا المقدر من المقدرات المهمة والجيدة المستعملة في المقدرات اللاخطية ويفضل على مقدرات النواة كما انه يستعمل في العديد من التصميم منها التصميم الثابت او العشوائي لتحليل العديد من التجارب، ويمكن تمثيل نموذج الانحدار اللاخطي المتعدد بالصيغة الآتية: (You et. al., 2013)

$$Y_i = m(T_i) + e_i \quad \dots (1)$$

$$\begin{bmatrix} Y_1 \\ Y_2 \\ \vdots \\ Y_n \end{bmatrix} = \begin{bmatrix} m(T_1) \\ m(T_2) \\ \vdots \\ m(T_n) \end{bmatrix} + \begin{bmatrix} e_1 \\ e_2 \\ \vdots \\ e_n \end{bmatrix} \quad \dots (2)$$

إذ إن ( $T_i$ ) تمثل متوجه دالة مجهولة ذو ( $T$ ) من المتغيرات التوضيحية اللاخطية وعادة ما يكون متغير مستمر، ونلاحظ من المعادلة (1) بأن نموذج الانحدار اللاخطي المتعدد يكون غير خطى وعليه تم تحويله الى نموذج خطى بالاعتماد على توسيع تايلر (Taylor Expansion) وكالاتي:

نفترض بان الدالة ( $m$ ) تمتلك مشتقة من الرتبة ( $u$ ) عند النقطة ( $T_i$ ) والنقط (t) تقع في جوار النقطة (t) وعليه فان توسيع تايلر للدالة ( $m$ ) يكون كالاتي:

$$m(T_i) = \beta_0 + \beta_1(t - T_i) + \beta_2(t - T_i)^2 + \cdots + \beta_u(t - T_i)^u \quad \dots (3)$$

$$m(T_i) = \sum_{j=0}^u \beta_j (t - T_i)^j \quad , \quad i = 1, 2, \dots, n \quad \dots (4)$$

ومن المعادلة (4) نلاحظ بأن دالة الانحدار اللاخطية أصبحت خطية، وعليه يمكن كتابة النموذج الخطى بصيغة المصفوفات وكالاتي: (You et. al., 2013)

$$\underline{Y} = \underline{T}\underline{\beta} + \underline{e} \quad \dots (5)$$

إذ أن:

$$\underline{T} = \begin{bmatrix} (t - T_1) & (t - T_1)^2 & (t - T_1)^3 & \dots & (t - T_1)^u \\ \vdots & \vdots & \vdots & \ddots & \vdots \\ (t - T_n) & (t - T_n)^2 & (t - T_n)^3 & \dots & (t - T_n)^u \end{bmatrix}_{n \times u}, \quad \underline{\beta} = \begin{bmatrix} \beta_1 \\ \beta_2 \\ \vdots \\ \beta_u \end{bmatrix}_{u \times 1}$$

(3) وصف نموذج الانحدار اللاخطي المتعدد المختلط:

### Description of the Mixed Multiple Nonlinear Regression Model:

من خلال نموذج الانحدار اللاخطي المتعدد الذي تم الاشارة اليه في المعادلة رقم (5)، وبافتراض أن متوجه الاخطاء العشوائية يتبع التوزيع الأسوي المزدوج متعدد المتغيرات، حيث يمكن ايجاد دالة الكثافة الاحتمالية بالاستعانة بمفهوم التوزيعات المختلطة من التوزيع الاسوي والطبيعي متعدد المتغيرات وكالآتي:

$$\underline{e}|X \sim N_n(\mathbf{0}, X \sigma^2 \Phi^{-1}) \quad , \quad X \sim \exp(\sigma^2)$$

إذ إن:

$X$ : متغير عشوائي يتبع التوزيع الأسوي.

$\sigma^2$ : معلمة التباين.

$\Phi$ : مصفوفة قطرية تمثل أوزان دالة النواة من الدرجة ( $n \times n$ ).

$$\Phi = \text{diag} (ker_h(t - T_i)) \quad ; \quad ker_h(\cdot) = \frac{1}{h} ker\left(\frac{\cdot}{h}\right)$$

$ker_h(\cdot)$  : دالة النواة وتكون محددة ومستمرة ومتتمالة وتكمالها مساوي للواحد الصحيح، وفي هذا البحث، تم استعمال دالة النواة الطبيعية. (Heidenreich , et al. 2013)

$h$ : معلمة عرض الحزمة وتكون موجبة، وأكثر اهمية من دالة النواة، ومن الممكن اختيارها حسب خبرة الباحث، وكانت كالآتي: (Heidenreich , et al. 2013)

$$h = 1.06 * \hat{\sigma} * n^{-\frac{1}{5}} \quad \dots (6)$$

وعليه، فإن دالة الكثافة الاحتمالية لمتوجه الاخطاء العشوائية المشروطة بالمتغير العشوائي ( $X$ ) هي كالآتي:

$$f(\underline{e}|X) = \frac{|\boldsymbol{\varphi}|^{\frac{1}{2}}}{(2\pi)^{\frac{n}{2}} (\sigma^2)^{\frac{n}{2}}} e^{-\frac{1}{2\sigma^2} \underline{e}^T \boldsymbol{\varphi}(\underline{e})} \quad \dots (7)$$

وان دالة الكثافة الاحتمالية للمتغير العشوائي ( $X$ ) تكون كالاتي: (الغرابي، 2008)

$$P(X) = \frac{1}{\sigma^2} \exp\left[-\frac{X}{\sigma^2}\right] \quad ; X > 0 \quad \dots (8)$$

وبالاعتماد على نظرية التوزيعات الخليطة، فإن دالة الكثافة الاحتمالية لمتجه الأخطاء غير الشرطية بالمتغير العشوائي ( $X$ ) تكون كالاتي:

$$\begin{aligned} f(\underline{e}) &= \int_0^{\infty} f(\underline{e}|X) P(X) dX \\ f(\underline{e}) &= \frac{2 |\boldsymbol{\varphi}|^{\frac{1}{2}} \left(\frac{(\underline{e})^T \boldsymbol{\varphi}(\underline{e})}{2}\right)^{\frac{2-n}{2}}}{(2\pi)^{\frac{n}{2}} (\sigma^2)^{\frac{n}{2}}} * K_{\frac{2-n}{2}}\left(\sqrt{2 (\underline{e})^T \boldsymbol{\varphi}(\underline{e})}\right) \end{aligned} \quad \dots (9)$$

المعادلة (9) تمثل دالة الكثافة الاحتمالية للتوزيع الأسوي المزدوج متعدد المتغيرات. (Eltoft et al., 2006)

أذ أن: (Lemonte and Cordeiro, 2011)

$K_{\frac{2-n}{2}}$ : تمثل دالة بسل المعدلة من النوع الثاني ذات الرتبة  $\left(\frac{2-n}{2}\right)$  التي تأخذ الصيغة الآتية.

$$K_{\frac{2-n}{2}}(x) = \frac{1}{2} \int_0^{\infty} y^{-\frac{2-n}{2}-1} \exp\left(-\frac{1}{2} x(y+y^{-1})\right) dy \quad x > 0 \quad \dots (10)$$

وعليه، فإن التوزيع الاحتمالي العشوائي لمتجه المشاهدات ( $Y$ ) هو توزيع الأسوي المزدوج متعدد المتغيرات؛ لأن تركيبة خطية بدلالة متجه الأخطاء العشوائية ، وأن دالة الكثافة الاحتمالية له تكون كالاتي:

$$f(\underline{Y}) = \frac{2 |\boldsymbol{\varphi}|^{\frac{1}{2}} \left( \frac{(\underline{Y} - T\underline{\beta})^T \boldsymbol{\varphi} (\underline{Y} - T\underline{\beta})}{2} \right)^{\frac{2-n}{2}}}{(2\pi)^{\frac{n}{2}} (\sigma^2)^{\frac{n}{2}}} * K_{\frac{2-n}{2}} \left( \sqrt{2 (\underline{Y} - T\underline{\beta})^T \boldsymbol{\varphi} (\underline{Y} - T\underline{\beta})} \right) \quad ... (11)$$

ويمكن التعبير عن هذا التوزيع وصفياً بالاتي:

$$\underline{Y} \sim DE(L)(n) \left( T\underline{\beta}, \sigma^2, \boldsymbol{\varphi}^{-1} \right)$$

#### Genetic Algorithm :

#### (4) الخوارزمية الجينية:

تكمن فكرة الاساسية للخوارزمية الجينية من خلال توليد بعض الحلول للمشكلة عشوائياً، ثم يتم فحص هذه الحلول ومقارنتها لبعض المعايير التي يضعها مصمم الخوارزمية، وأفضل الحلول هي التي تبقى، أما الحلول الأقل كفاءة فيتم إهمالها عملاً بالقاعدة البيولوجية (بقاء للأصلح)، والخطوة اللاحقة هي مزاوجة الحلول المتبقية (الحلول الأكثر كفاءة) لإنتاج حلول جديدة على غرار ما يحصل في الكائنات الحية؛ وذلك بمزج مورثاتها (جيناتها)؛ إذ إن الكائن الجديد الناتج ستكون صفاتيه عبارة عن مزيج من صفات والديه وهذه الحلول الناتجة من التزاوج تدخل أيضاً تحت الفحص والتقييم لمعرفة مدى كفاءتها واقترابها من الحل الأمثل، وبهذا تتم عمليات التزاوج والانتقاء حتى تصل العملية إما بعد معين من التكرارات (يقدر مصمم الخوارزمية) أو تصل الحلول الناتجة أو إحداها إلى نسبة كفاءة كبيرة. وهذا فالخوارزميات الجينية تولد بنجاح الفرضيات بوساطة تكرار الطفرة وإعادة تجميع أفضل أجزاء الفرضيات الموجودة.

إن الخوارزمية الجينية يمكن أن تعالج أية دالة هدف مع القيود أو دونها سواء كانت خطية أم لا خطية، وفضاء الحل قد يكون ببعد واحد أو أكثر (Goldberg 1989) وبصورة عامة فإن خطوات عمل الخوارزمية الجينية توصف كالتالي :

**1- [البداية Start]:** تمثل توليد مجتمع عشوائي أولي من الكروموسومات، أي بمعنى إيجاد حلول مناسبة أولية للمسألة.

**2-[اللباقة Fitness]:** هي تحويل دالة الهدف (Objective Function) إلى دالة مناسبة للحل في الخوارزمية الجينية.

**3-[مجتمع جديد New Population]:** توليد جيل جديد من الأفراد بتكرار الخطوات الآتية إلى أن يكتمل الجيل، وتتضمن:

- الاختيار(Selection): يتم اختيار اثنين من الكروموسومات من المجتمع الابتدائي كوالدين استناداً إلى دالة اللياقة (أفضل القيم التي لها فرص أكبر للاختيار).

- التداخل الإبدالي (Crossover): يعني إجراء إحدى عمليات التعابير للحصول على الذرية (Offspring) ويكون بين كروموسومين يتم تحديدهم سابقاً.
  - الطفرة (Mutation) : مع احتمالية وجود الطفرة يتم عمل الطفرة للسلف الجديد بموقع معين في الكروموسوم، وتجري بين الجينات في الكروموسوم الواحد.
  - الاستبدال (Replacement): تستبدل الابناء في المجتمع الجديد ليصبحوا آباء في المجتمع اللاحق.
  - الاختبار (Test): عند تحقق شرط التوقف، فإن الخوارزمية الجينية تتوقف وتعيد الحل الجيد من آخر جيل متكون.
  - الدورة (Loop): يتم الرجوع إلى الخطوة 2.
- إن كل تكرار (دورة) لهذه العملية يسمى بالجيل (Generation)، وبعد نهاية التنفيذ يقوم الباحث بتقديم تقرير عن الحقائق التي تم التوصل إليها (Fogel 1998).

(5) استخدام الخوارزمية الجينية لتقدير معلمات نموذج الانحدار اللاخطي المتعدد المختلط:

### Using the Genetic Algorithm to Estimate the Parameters of the Mixed Multiple Nonlinear Regression Model:

من المعروف أن الخوارزمية الجينية إحدى الخوارزميات التطورية الذكية التي تقوم بانتخاب الحلول المفضلة من بين عدد كبير من الحلول وإجراء بعض التداخلات والتبدلات بين هذه الحلول بهدف تكوين حلول أفضل. وبشكل عام فإن الخوارزمية الجينية تتضمن عدداً من الخطوات الأساسية لحل مختلف المسائل. ويكون الاختلاف في أسلوب صياغة وتطبيق كل خطوة من هذه الخطوات حسب المسألة و مجال تطبيقها وفيما يأتي توضيح لخطوات الخوارزمية الجينية المقترحة:

1. البيانات الأولية (Initial Data): وهي قراءة لقيم متغيرات مسألة الانحدار اللاخطي المتعدد عندما يتبع حد الخطأ التوزيع الأسوي المزدوج وتنص على:

- متجه مشاهدات متغير الاستجابة (Response variable)، ذو سعة  $(1 \times n)$ .
- المصفوفة غير العشوائية والتي تمثل مشاهدات المتغيرات التوضيحية (Explanatory variables) ذات سعة  $(n \times u)$ .

إذ يكون الجزءان معاً المصفوفة التي تمثل الإدخال للمسألة، وتصبح المصفوفة بالشكل الآتي:

$$T = \begin{bmatrix} (t - T_1) & (t - T_1)^2 & \dots & (t - T_1)^u & Y_{u+1} \\ (t - T_1)^2 & (t - T_1)^3 & \dots & (t - T_1)^{u+1} & Y_{u+2} \\ \vdots & \vdots & \ddots & \vdots & \vdots \\ (t - T_1)^{n-u} & (t - T_1)^{n-u+1} & \dots & (t - T_1)^{n-1} & Y_n \end{bmatrix} \dots (12)$$

تجدر الإشارة إلى أنه يجب أن تتم معايرة البيانات (Normalization Data) قبل إدخالها للشبكة، لأنه في حالات كثيرة تكون البيانات المعدة للتدريب ذات قيم عالية، عندئذ ينصح دائمًا بمعايرة مدخلات ومخرجات الشبكة لتصبح ضمن المدى [1, 0] ، إذ يستخدم القانون الآتي والخاص بمعايرة البيانات:

$$\hat{T} = 2 * \left( \frac{T - T_{min}}{T_{max} - T_{min}} \right) - 1 \dots (13)$$

إذ إن  $(\hat{T})$  تمثل القيم بعد المعايرة و  $(T)$  تمثل القيم الأصلية، كما أن  $(T_{max})$  و  $(T_{min})$  يمثلان أكبر وأصغر قيمة من قيم  $(T)$  على التوالي.

2. إنشاء الجيل الابتدائي (Initial Generation) : ويُعد النقطة الأولى لحل المسألة، وتتم عملية بناء الجيل الابتدائي بطريقة عشوائية طبقاً للتوزيع المنتظم من خلال توليد قيم عشوائية لمتجه معلمات نموذج الانحدار اللاخطي  $(\beta)$  طبقاً للتوزيع المنتظم في الفترة [1, U] ، ومن ثم توليد قيم عشوائية لمعلمات التباين  $(\sigma^2)$  طبقاً كذلك للتوزيع المنتظم.

ومن ثم تتشكل عدة كروموسومات ابتدائية بحجم  $(N_{pop})$  ، ويمثل كل كروموسوم حل متكامل للمسألة، كما أن طول الكروموسوم يكون بعدد معلمات المسألة. والمقطع أدناه يوضح هيئة الكروموسوم لمسألة انحدار اللاخطي المتعدد عندما يتبع حد الخطأ التوزيع الأسوي المزدوج.

$\beta_1$	$\beta_2$	...	$\beta_u$	$\sigma^2$
-----------	-----------	-----	-----------	------------

الشكل (1) : كروموسوم خاص بمسألة الانحدار اللاخطي المتبع توزيع الأسوي المزدوج.

3. دالة الهدف (Objective Function) : إن دالة الهدف الخاصة بمسألة الانحدار اللاخطي عندما يتبع توزيع الأسوي المزدوج هي عبارة عن دالة الخطأ التربيعي  $(MSE)$ .

4. اختيار الآباء (Selection) : تم اختيار الآباء في هذه الخوارزمية على أساس انتقاء الفرد ذي الرتبة الأعلى (Highest Rank Selection) إذ تعتمد هذه الطريقة على اختيار احدي الافراد الذي تمتلك أعلى هدف، بينما يتم انتقاء الفرد الآخر عشوائياً، وتسمح هذه الطريقة بتحسين الكروموسومات بحيث تمتلك بعض الجينات الجيدة من الفرد الذي يمتلك الكلفة الأكبر. (Goldberg, 1998)

5. التداخل الابدالي (Crossover): يتمثل عمل التداخل باختيار فردين وربطهما خطياً لإنتاج نوعين جديدين من الأفراد (الأبناء) وهذا النوع من التداخل يسمى (Arithmetic Crossover)، ويتم بتطبيق المعادلتين الآتتين:

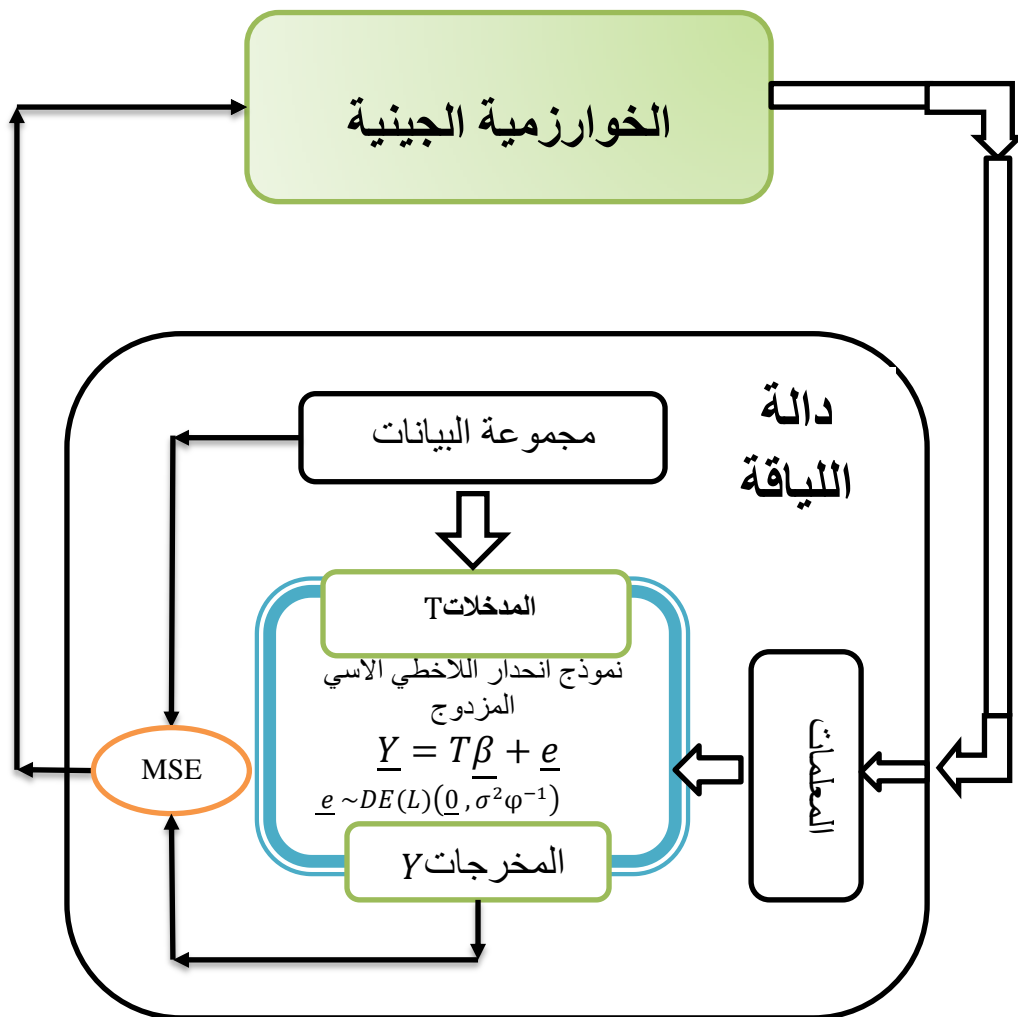
$$\text{offspring 1} = a * \text{Parent 1} + (1 - a) * \text{Parent 2} \quad \dots (14)$$

$$\text{offspring 2} = (1 - a) * \text{Parent 1} + a * \text{Parent 2} \quad \dots (15)$$

إذ أن ( $a$ ): يمثل عدداً عشوائياً محصوراً بين الصفر والواحد (ويتم اختياره قبل كل عملية تداخل).

6. الطفرة (Mutation) : تم اجراء الطفرة في هذه الخوارزمية بالاعتماد على طفرة التوزيع المنتظم، إذ يتم اختيار موقع ضمن المقطع (الكروموسوم) ويتم استبدال قيمته بشكل عشوائي وضمن الحدود الخاصة به وباحتمالية مقدارها .( $p(m) = 0.1$ )

7. مقياس التوقف (Stop Criterion): يستمر تكوين الأجيال المتعاقبة (الخطوات 7-4) بهدف تحسين الحل (أي بجعله أكثر اقتراباً إلى الحل الأمثل) إلى أن يتحقق شرط التوقف الذي يعتمد على انهاء العدد المحدد من التكرارات، كما يمكن ايقاف الخوارزمية في حالة عدم تحسن الحل، والشكل (2) يوضح طريقة ربط الخوارزمية الجينية مع نموذج انحدار اللاخطي عندما يتبع توزيع الأسني المزدوج .



الشكل (2) : كيفية ربط الخوارزمية الجينية بنموذج انحدار الراختي الاسي المزدوج المتعدد.

### The Practical Side :

### (6) الجانب التطبيقي:

يتناول هذا الجانب تطبيق ما تم التوصل اليه في الجانب النظري على العديد من البيانات الحقيقية المتعلقة بأسواق العراق للأوراق المالية والخاصة في العديد من القطاعات المختلفة بالإضافة إلى مناقشة تلك النتائج.

#### أ- البيانات (Data) :

تم في هذا البحث استخدام ست مجاميع من البيانات لغرض اثبات فعالية نموذج الانحدار الراختي الأسني المزدوج المتعدد في التنبؤ بأسعار الأسهم والجدول (1) يوضح تفاصيل البيانات المستخدمة.

**الجدول (1): تفاصيل البيانات الخاصة بالأسهم.**

نوع المشاهدات	عدد المشاهدات	الرمز	اسم الشركة	ت
شهري	40	BCOI	المصرف التجاري العراقي	1
شهري	38	TZNI	الخليج للتأمين	2
شهري	44	SBPT	بغداد العراق للنقل العام	3
شهري	35	IRMC	انتاج الالبسة الجاهزة	4
شهري	39	IMCM	صناعة المواد الانشائية الحديثة	5
شهري	42	SIGT	نقل المنتجات النفطية	6

قبل إجراء عملية التنبؤ تم مطابقة بيانات شركات القطاعات المختلفة لتوزيع الأسوي المزدوج من خلال اختبار حسن المطابقة (Goodness of Fit Test) والمتمثل باختبار كولموغروف سميرنوف، وكانت قيم الاختبار لجميع الشركات أصغر من القيمة الجدولية تحت مستوى معنوية ( $\alpha = 0.05$ )، مما يدل على أن البيانات مطابقة للنموذج المستخدم في البحث والجدول (2) بين قيم الاختبار الخاص بحسن المطابقة.

**الجدول (2): قيم اختبار كولموغروف سميرنوف.**

القيمة الجدولية	قيم اختبار كولموغروف سميرنوف	الرمز	اسم الشركة	ت
$D(0.05,40) = 0.2102$	1.9871	BCOI	المصرف التجاري العراقي	1
$D(0.05,38) = 0.2172$	2.0014	TZNI	الخليج للتأمين	2
$D(0.05,44) = 0.2043$	1.5214	SBPT	بغداد العراق للنقل العام	3
$D(0.05,35) = 0.2242$	2.0102	IRMC	انتاج الالبسة الجاهزة	4
$D(0.05,39) = 0.2172$	1.8214	IMCM	صناعة المواد الانشائية الحديثة	5

$D(0.05,42) = 0.2043$	1.4422	SIGT	نقل المنتجات النفطية	6
-----------------------	--------	------	----------------------	---

ولتقييم أداء التنبؤ لبيانات الأسهم المختلفة، تم تقسيم البيانات على مجموعتين هما: مجموعة التدريب ومجموعة الاختبار، وهاتان المجموعتان مستقلتان لا وجود لأي ترابط بينهما؛ إذ تستخدم بيانات مجموعة التدريب لغرض بناء نموذج الانحدار اللاخطي وتقدير معلماته، في حين يتم استخدام بيانات الاختبار لتقدير كفاءة النماذج المستخدمة، وقد تم تقسيم البيانات إلى (80%) و (20%) لبيان هيكلية مجموعة التدريب والاختبار للبيانات على التوالي.

#### بـ- معايير المقارنة:

لعرض المقارنة ما بين النماذج المستخدمة لغرض التنبؤ بأسعار الأسهم المالية، تم استخدام عدد من معايير لاختبار النماذج ومعرفة مدى صلاحيتها ومدى قرب القيم الحقيقية من القيم المقدرة فيها. وقد استخدم كل من متوسط مربعات الخطأ ( $MSE$ ) و متوسط القيم المطلقة للأخطاء ( $MAE$ ) في المعادلات (16) و(17) على التوالي.

$$MSE = \frac{\sum_{i=1}^n (y_i - \hat{y}_i)^2}{n} \quad \dots (16)$$

$$MAE = \frac{\sum_{i=1}^n |y_i - \hat{y}_i|}{n} \quad \dots (17)$$

إذ إن ( $y$ ) تمثل القيمة الحقيقة و ( $\hat{y}$ ) تمثل القيمة المقدرة باستخدام الأساليب المختلفة، بينما تمثل ( $n$ ) عدد المشاهدات المستخدمة.

#### جـ- تقدير معلمات نموذج الانحدار اللاخطي الأسوي المزدوج المتعدد والتنبؤ به:

تم في هذا البحث استعمال نموذج الانحدار الخطي الطبيعي المتعدد ونموذج انحدار ( $t$ ) المتعدد والشبكات العصبية الاصطناعية لعرض المقارنة مع نموذج انحدار اللاخطي الأسوي المزدوج المتعدد. (Zhang, 1998) ويبين الجدول (3) نتائج المقارنة باستخدام المعيارين في المعادلة (16) و(17)، بينما تبين الأشكال (3) و (4) و (5) و (6) و (7) و (8) رسم القيم الحقيقة والقيم المتتبّع بها. (عيسى، 2000).

**الجدول (3): نتائج مقارنة نموذج الانحدار лахطي الأسی المزدوج المتعدد مع نموذج الانحدار الطبيعي المتعدد ونموذج انحدار ( $t$ ) المتعدد والشبكات العصبية الاصطناعية.**

الشبكات العصبية الاصطناعية		نموذج الانحدار الخطى (t)		نموذج الانحدار الخطى الطبيعي		نموذج الانحدار лахطي الأسی المزدوج		المعيار	البيانات
اختبار	تدريب	اختبار	تدريب	اختبار	تدريب	اختبار	تدريب		
0.9941	0.4523	0.9721	0.4501	0.9941	0.4620	0.4298	0.4421	MSE	<b>BCOI</b>
0.9941	0.4210	0.9643	0.3911	0.9941	0.4431	0.4298	0.3140	MAE	
15.2412	1.2838	2.2245	1.2539	15.2412	1.3098	1.5527	1.2245	MSE	<b>TZNI</b>
15.2412	1.1021	2.0024	1.0999	15.2412	1.1147	1.5527	1.0021	MAE	
11.3942	0.7821	3.3698	0.7758	11.3942	0.8002	1.3080	0.7642	MSE	<b>SBPT</b>
11.3942	0.7088	5.3241	0.6829	11.3942	0.7820	3.3080	0.6631	MAE	
0.8021	1.9952	0.7926	1.8952	0.7700	3.2892	0.7724	0.8422	MSE	<b>IRMC</b>
0.7991	1.0098	0.7809	0.9075	0.7501	3.0014	0.7620	0.8071	MAE	
1.1147	2.0142	0.8923	1.0021	1.9987	1.2347	0.8290	0.9871	MSE	<b>IMCM</b>
1.9327	1.8215	0.9982	0.1080	0.8998	1.0021	0.8541	0.9001	MAE	
4.2479	4.0147	3.8921	3.9987	4.4422	4.5741	2.1874	2.3210	MSE	<b>SIGT</b>
4.0078	3.9921	2.7147	3.7720	4.4148	4.4231	2.0047	2.1012	MAE	

1- **نموذج الانحدار الخطى الطبيعي المتعدد:** تم استعمال برنامج (SPSS) لتقدير معلمات نموذج الانحدار الخطى المتعدد الاعتيادي لمجاميع البيانات (الجدول (3)) وتم تقدير المعلمات لمجموعة التدريب، بينما تم اختبار المعلمات المقدرة باستخدام بيانات الاختبار. (Sarle and Warren, 1994)

2- **نموذج الانحدار الخطى (t):** تم استعمال برنامج (SPSS) لتقدير معلمات نموذج الانحدار الخطى (t) لمجاميع البيانات (الجدول (3)) وتم تقدير المعلمات لمجموعة التدريب ، بينما تم اختبار المعلمات المقدرة باستخدام بيانات الاختبار.

3- الشبكات العصبية الاصطناعية: ولغرض التنبؤ استخدمت شبكة عصبية متعددة الطبقات ذات انتشار الامامي (multi-layer feed forward neural network) وطبقة مخفية واحدة واستخدام عقدة اخراج واحدة واستعمال تنبؤ امامي متعدد الخطوات باستخدام إجراءات تكرارية (الكسو، 2005).

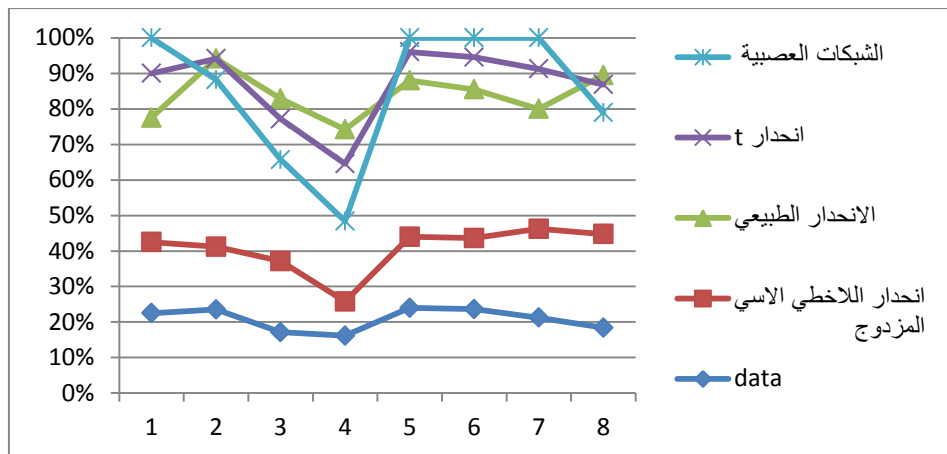
كما تم اختيار عقد ادخال بقدر عدد المتغيرات المستقلة، مع عقد مخفية تتفاوت ما بين [3 – 11] بزيادة بمقدار اثنين عن سابقتها، لذا فإن ما مجموعه (8) نموذج شبكة عصبية تم اختبارها قبل الوصول الى التركيبة النهائية لنموذج الشبكة العصبية. وقد تم استخدام برنامج Matlab R2020a (Matlab R2020a) لبناء الشبكة وتقدير الاوزان واختبارها.

4- نموذج انحدار лахطي الأسوي المزدوج المتعدد: تم تحديد معلمات الخوارزمية الجينية قبل البدء بعملية تقدير المعلمات وذلك لغرض الحصول على أفضل نتيجة وأسرع تقارب والحدول (4) يوضح معلمات الخوارزمية الجينية.

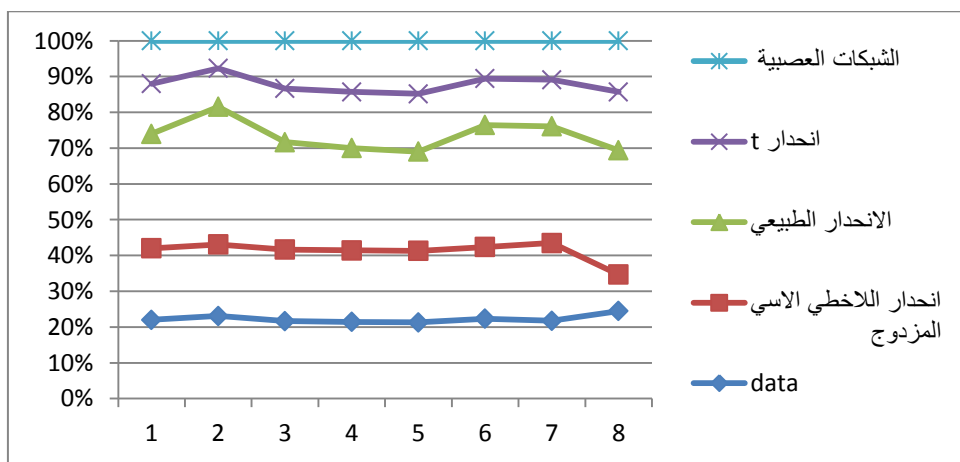
الجدول (4): معلمات الخوارزمية الجينية.

المعلمة	القيمة
حجم المجتمع (عدد الافراد)	100
عدد التكرارات	2500
احتمالية التعبير	0.75
احتمالية الطفرة	0.46
نوع الانتقاء	Highest Rank Selection
نوع التعبير	Arithmetic
نوع الطفرة	Uniform
دالة اللياقة	MSE

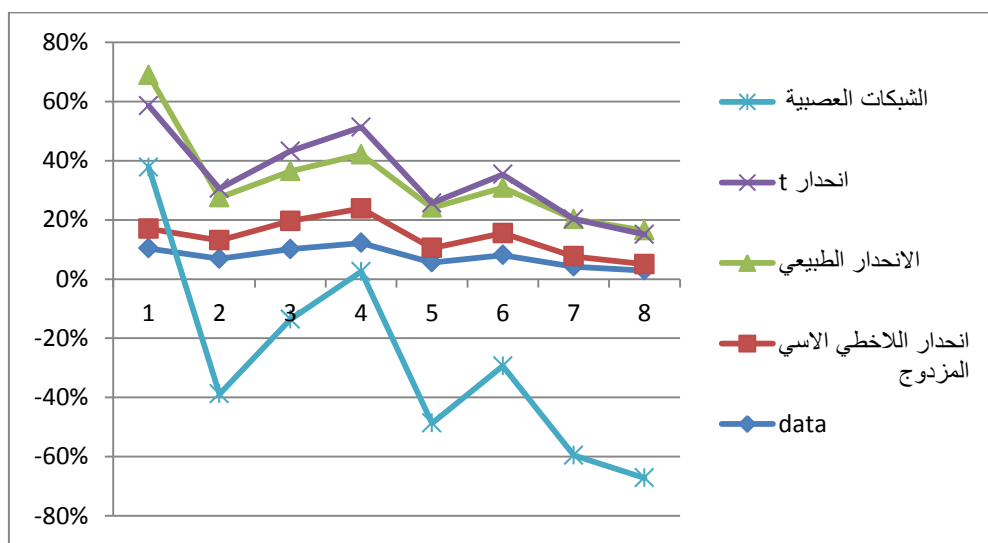
بعد تقدير معلمات نموذج انحدار лахطي الأسوي المزدوج المتعدد باستعمال الخوارزمية الجينية من خلال بيانات التدريب، تم اختبار كفاءة النموذج باستخدام المعايير الموضحة سابقاً على بيانات الاختبار لمعرفة أفضل نموذج يمكن استخدامه للتنبؤ بأسعار الأسهم من النماذج الستة المستخدمة.



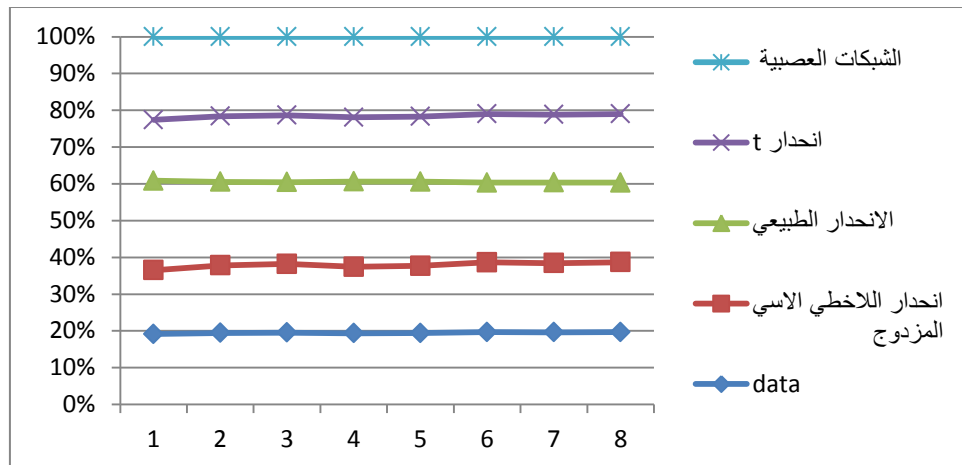
الشكل (3): رسم القيم الحقيقية والقيم المتتبعة لشركة BCOI.



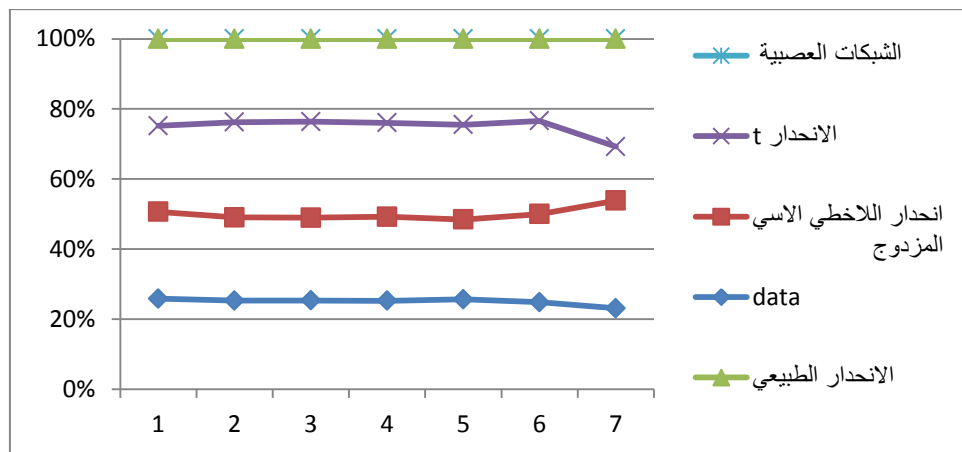
الشكل (4): رسم القيم الحقيقية والقيم المتتبعة لشركة TZNI.



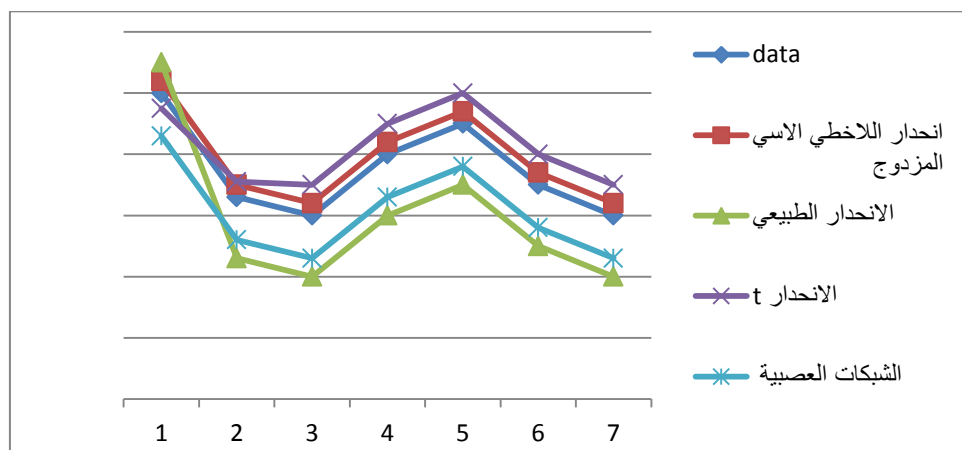
الشكل (5): رسم القيم الحقيقة والقيم المتتبة لشركة SBPT.



الشكل (6): رسم القيم الحقيقة والقيم المتتبة لشركة IRMC.



الشكل (7): رسم القيم الحقيقة والقيم المتتبة لشركة IMCM.



### الشكل (8): رسم القيم الحقيقية والقيم المتنبأة لشركة SIGT.

#### د- مناقشة النتائج

من الجدول (3) ومن ملاحظة الأشكال (3) و (4) و (5) و (6) و (7) و (8) يتبيّن أن نموذج انحدار اللاخطي الأسني المزدوج المتعدد أفضل من نموذج الانحدار الخطي الطبيعي ونموذج الانحدار الخطي ( $t$ ) وأسلوب الشبكات العصبية الاصطناعية في التنبؤ بأسعار الأسهم؛ إذ أثبتت النتائج قدرة نموذج الانحدار اللاخطي الأسني المزدوج المتعدد على الموازنة بين التدريب والاختبار ، وهذا يدل على قوة النموذج وكفاءته مقارنة بنموذج الاعتيادي وأسلوب الشبكات العصبية الاصطناعية اللذين يستخدمان كذلك في مجال التنبؤ.

#### Conclusions and recommendations: (7) الاستنتاجات والتوصيات:

تم الاستنتاج من خلال النتائج التي تم التوصل إليها إلى أن استخدام أسلوب الانحدار اللاخطي الأسني المزدوج المتعدد كبديل ناجح لنموذج الانحدار الخطي الطبيعي المتعدد ونموذج انحدار ( $t$ ) والشبكات العصبية، وذلك لغرض التنبؤ بأسعار الأسهم في أسواق الأوراق المالية. وتم استخدام الخوارزمية الجينية لتقدير معلمات التوزيع الأسني المزدوج. وطبقت النتائج التي توصلنا إليها على العديد من البيانات الحقيقة المتعلقة بسوق العراق للأوراق المالية ، وقد أظهرت نتائج التنبؤ تفوق نموذج انحدار اللاخطي الأسني المزدوج المتعدد على نموذج الانحدار الخطي الطبيعي و( $t$ ) المتعدد والشبكات العصبية في بيانات التدريب والاختبار، مما يدل على فعالية النموذج لكون توزيع الأسني المزدوج توزيعاً شاملاً يستطيع احتواء أغلب الظواهر والبيانات. ويوصي الباحث باعتماد نموذج الانحدار اللاخطي الأسني المزدوج المعجم والخوارزمية الجينية في نمذجة جميع الظواهر الحياتية، واستخدامه كبديل لانحدار الاعتيادي المتعدد.

#### (8)المصادر:

#### References:

- الصفاوي، صفاء يونس و متى، نور صباح ،(2011)، "تقدير دوال الانحدار الامعملي باستخدام بعض اساليب التمهيد" ، المجلة العراقية للعلوم الاحصائية، عدد خاص بواقع المؤتمر العلمي الرابع لكلية علوم الحاسوب والرياضيات، (20)، 373-392.
- الغرابي، سليم، (2008)، " ملاحظات حول التوزيع الأسني" ، مجلة العلوم الاقتصادية والإدارية، المجلد 14 ، العدد 50، ص ص (292-303).
- الكسو ، ابتهاج عبد الحميد محمد علي ،(2005)، " استخدام الشبكات العصبية في تقدير رتب سلاسل ماركوف مع التطبيق على سلسلة جبل بطة في محافظة نينوى "، اطروحة دكتوراه غير منشورة كلية علوم الحاسوب والرياضيات، جامعة الموصل.
- عبدالله، ابتسام كريم وراضي، اسماء خميس،(2022)، " مقارنة طرائق تقدير معلمات توزيع لابلس الغير متماثل باستعمال دالة خسارة التربيعية وطريقة الإمكان الأعظم" مجلة الادارة والاقتصاد / جامعة المستنصرية.

5. الشريفي، عماد فرهود محي، (2015)، "بعض طرائق التقدير لمعلمات القياس لتوزيع لابلاس : دراسة مقارنة" رسالة ماجستير غير منشورة، قسم الرياضيات، جامعة المستنصرية.
6. عيسى، علام زكي، (2000)، "الشبكات العصبية، البنية الهندسية-الخوارزميات – التطبيقات"، الطبقة الاولى، شعاع للنشر والعلوم ، حلب، سوريا.

Eltoft, T., Kim, T., & Lee, T. W. (2006). On the multivariate Laplace distribution. *IEEE Signal Processing Letters*, 13(5), 300-303.

8. Fogel D., Evolutionary Computation: The Fossil Record. Piscataway NJ: IEEE Press, 1998.
9. Fogel, D. B. (2000). What is evolutionary computation?. *IEEE spectrum*, 37(2), 26-32.
10. Goldberg, D. E. (1989). Genetic algorithms in search, optimization, and machine learning, addison-wesley, reading, ma, 1989. *NN Schraudolph and J, 3(1)*.
11. Heidenreich, N. B., Schindler, A., & Sperlich, S. (2013). Bandwidth selection for kernel density estimation: a review of fully automatic selectors. *AStA Advances in Statistical Analysis*, 97, 403-433.
12. Lemonte, A. J., & Cordeiro, G. M. (2011). The exponentiated generalized inverse Gaussian distribution. *Statistics & probability letters*, 81(4), 506-517.
13. Mühlenbein, H., Schomisch, M., & Born, J. (1991). The parallel genetic algorithm as function optimizer. *Parallel computing*, 17(6-7), 619-632.
14. Sarle, W. S. (1994). Neural networks and statistical models. In *Proceedings of the 19th annual SAS users group international conference* (Vol. 13).
15. You, J., Zhou, Y., & Chen, G. (2013). Statistical inference for multivariate partially linear regression models. *Canadian Journal of Statistics*, 41(1), 1-22.
16. Zhang, G., Patuwo, B. E., & Hu, M. Y. (1998). Forecasting with artificial neural networks:: The state of the art. *International journal of forecasting*, 14(1), 35-62.